

ВЛИЯНИЕ НЕОДНОРОДНОСТИ УПРУГОЙ СРЕДЫ НА ФОНОННЫЙ МЕХАНИЗМ РЕЛАКСАЦИИ ДВУМЕРНЫХ НОСИТЕЛЕЙ ЗАРЯДА

Вартанян А. Л., Киракосян А. А.

Получены выражения для обратного времени импульсной релаксации и мощности энергетических потерь системы двумерных носителей заряда с учетом влияния свободной поверхности и различия упругих констант полупроводника и диэлектрического слоя в МОП структуре при рассеянии на акустических фонах. Показано, что в области малоуглового рассеяния взаимодействие с поверхностными фононами приводит к усилению темпа релаксации и тем самым снимает разногласие между расчетными и экспериментальными данными для обратного времени импульсной релаксации. В области частичной неупругости существенную роль играет отражение объемных фононов от границы раздела, что приводит к подавлению темпа релаксации.

Введение. Проводимое в последние годы интенсивное исследование электронно-фононного взаимодействия в системах с двумерным газом носителей заряда (см., например, [1-9]) обусловлено как фундаментальностью этого типа взаимодействия, так и трудностями при объяснении имеющихся экспериментальных результатов [10]. Так, в [11] обнаружена сильная температурная зависимость обратного времени импульсной релаксации τ_p^{-1} , приписываемая фононному рассеянию, величина которого, однако, значительно меньше теоретически рассчитанной. Численные расчеты, сделанные в [4, 5] с целью исследования влияния свободной поверхности полупроводника на фононный механизм релаксации, приводят к заключению, что при любой температуре этим влиянием на основные релаксационные характеристики (τ_p и $\langle Q \rangle$ — мощность энергетических потерь) можно пренебречь. Это эквивалентно предположению о взаимодействии двумерных носителей заряда (ДНЗ) с объемными фононами, т. е. квантами волнового поля бесконечной однородной упругой среды. Однако авторами [4, 5] в их более поздней работе [6] показано, что при гелиевых температурах наличие свободной поверхности Si (100) приводит к усилению энергетической релаксации ДНЗ инверсионного слоя почти втрое. Вместе с тем, согласно [9], существуют ситуации, когда наличие свободной границы сильно подавляет темп релаксации энергии. Эти обстоятельства наводят на мысль о более полном учете влияния неоднородности упругой среды (НУС), т. е. различия упругих констант полупроводника и диэлектрического слоя (ДС), а также наличия свободной поверхности ДС на основные релаксационные характеристики ДНЗ инверсионного слоя, что и проведено в данной работе. Следует заметить, что рассматриваемая модель адекватна реальной МОП структуре на Si с алюминиевым затвором ввиду близких значений скоростей сдвиговых волн в SiO_2 и Al [12].

Выражение для вероятности перехода с учетом НУС

Рассмотрим внутридолинное рассеяние ДНЗ основной подзоны на акустических фонах в инверсионном слое. Полная вероятность перехода ДНЗ в единицу времени из состояния k в k' дается формулой

$$W_{kk'} = \int d\mathbf{q} \sum_{(j)} (w_{kk'}^{(q_j)+} + w_{kk'}^{(q_j)-}), \quad (1)$$

где

$$w_{kk'}^{(q,j)\pm} = \frac{2\pi}{\hbar} |F_{q,j}|^2 \left(N_{q,j} + \frac{1}{2} \pm \frac{1}{2} \right) \delta_{k', k \mp q} \delta(\varepsilon_k - \varepsilon_{k'} \mp \hbar\omega_{q,j}), \quad (2)$$

верхние знаки соответствуют испусканию, а нижние — поглощению фона на с квантовым набором (q,j). В рамках модели деформационного потенциала, согласно [13],

$$|F_{q,j}|^2 = \frac{x^2 \hbar}{8\pi^2 \rho \omega_{q,j}} \int_0^\infty dz |\chi_0(z)|^2 \int_0^\infty dz' |\chi_0(z')|^2 \exp[i\theta(z-z')] \hat{\xi}_{yy} \Lambda_{yy}^{(q,j)}(z, z'). \quad (3)$$

В (1)–(3) k и q — двумерные волновые векторы ДНЗ и фона на соответственно, ε_k — энергия ДНЗ, $N_{q,j}$ — среднее число фонаров с частотой $\omega_{q,j}$, $\chi_0(z)$ — волновая функция основного состояния ДНЗ в одномерной яме, $x=x_u$ и $D=x_d/x_u$ — константы деформационного потенциала, $\hat{\xi}_{yy}$, $(D, q, \partial/\partial z, \partial/\partial z')$ — оператор, а θ — параметр, конкретный вид которых зависит от ориентации эллипсоидов постоянных энергий относительно поверхности инверсионного слоя [13], ρ — плотность Si, $\Lambda_{yy}^{(q,j)}(z, z') = \hat{u}_y^{(q,j)}(z) u_y^{(q,j)}(z')$, а $u_y^{(q,j)}(z)$ — зависящая от z часть y -й компоненты собственной фононной моды с набором (q,j); по y, y' проводится суммирование. Выражения для $u_y^{(q,j)}(z)$ приведены в [14], где в континуальном приближении решена задача квантования волнового поля в неоднородной упругой среде «слой—полупространство». Выражения для $\Lambda_{yy}^{(q,j)}$ в области полупроводника, необходимые для последующего изложения, даны далее. В набор (j) входят следующие величины: 1) квантовое число поляризации λ , которому приписывается либо символ $P-SV$ в случае вертикально поляризованных смешанных волн, либо SH в случае горизонтально поляризованных поперечных волн; 2) $c=\omega_{q,j}/|\mathbf{q}|$ — фазовая скорость волны вдоль поверхности Si, которая сохраняется как при ее отражении от свободной поверхности SiO_2 , так и при прохождении и отражении от границы раздела SiO_2-Si . Она выражается через угол φ_b , образуемый нормалью к поверхности инверсионного слоя и направлением распространения волны со скоростью c_b соотношением $c=c_b/\sin \varphi_b$, где c_b — любая из характерных скоростей c_l, c_t, c_{1l}, c_{1t} (c_l, c_t — скорости продольных и поперечных волн в однородной среде соответственно, а индекс 1 относится к SiO_2); 3) квантовое число n , указывающее области изменения c ; 4) квантовое число m , указывающее число независимых решений в заданной области c .

С помощью (2) и (3) для полной вероятности перехода получим

$$W_{kk'} = \frac{x^2}{4\pi} \sum_{(j), yy'} \int d\mathbf{q} \frac{M_{q,j}^{kk'}}{\omega_{q,j}} \int_0^\infty dz |\chi_0(z)|^2 \int_0^\infty dz' |\chi_0(z')|^2 \exp[i\theta(z-z')] \hat{\xi}_{yy'} \Lambda_{yy}^{(q,j)}, \quad (4)$$

где

$$M_{q,j}^{kk'} = (N_{q,j} + 1) \delta_{k', k-q} \delta(\varepsilon_k - \varepsilon_{k'} - \hbar\omega_{q,j}) + N_{q,j} \delta_{k', k+q} \delta(\varepsilon_k - \varepsilon_{k'} + \hbar\omega_{q,j}).$$

В областях $c < c_t$, где появляются поверхностные акустические моды, суммирование в (4) ведется по дискретным значениям c_s при фиксированном \mathbf{q} , а в областях непрерывного изменения c суммирование заменяется интегрированием.

Дальнейшие вычисления проводятся для инверсионного слоя на поверхности Si (100), для которого $\theta=0$, а отличные от нуля компоненты $\hat{\xi}_{yy}$ равны (ось x направлена по \mathbf{q}) [13]

$$\begin{aligned} \hat{\xi}_{xx} &= q^2 D^2, \quad \hat{\xi}_{xz} = -iqD(D+1) \frac{\partial}{\partial z}, \\ \hat{\xi}_{zx} &= iqD(D+1) \frac{\partial}{\partial z}, \quad \hat{\xi}_{zz} = (D+1)^2 \frac{\partial^2}{\partial z^2}. \end{aligned} \quad (5)$$

Поскольку в SH -волне $u_x=u_z=0$, $u_y \neq 0$ [14], согласно (5), вклад SH -волн в $W_{kk'}$ равен нулю [7].

Используя выражения для $u_{\gamma}^{(q,j)}(z)$, приведенные в [14], можно показать, что для $P - SV$ -волн в области полупроводника при $c > c_l$ [$n = 1, m = 2 (+, -)$]

$$\Delta_{yy'}^{(1,+)}(z, z') + \Delta_{yy'}^{(1,-)}(z, z') = F_{yy'}(\gamma_1, \delta_1, \gamma, \delta) - F_{yy'}(-\gamma_1, -\delta_1, -\gamma, -\delta), \quad (6a)$$

при $c_l > c > c_{1l}$ ($n = 2, m = 1$)

$$\Delta_{yy'}^{(2,1)}(z, z') = F_{yy'}(\gamma_1, \delta_1, i\gamma_0, \delta) - F_{yy'}(-\gamma_1, -\delta_1, i\gamma_0, -\delta), \quad (6b)$$

при $c_{1l} < c < c_{1t}$ ($n = 3, m = 1$)

$$\Delta_{yy'}^{(3,1)}(z, z') = F_{yy'}(i\gamma_{10}, \delta_1, i\gamma_0, \delta) - F_{yy'}(i\gamma_{10}, -\delta_1, i\gamma_0, -\delta), \quad (6b)$$

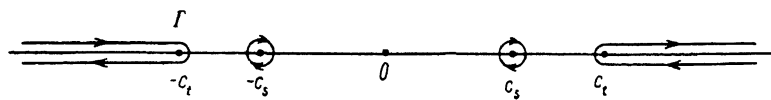
при $c_t < c < c_{1t}$ ($n = 4, m = s$)

$$\Delta_{yy'}^{(4,s)}(z, z') = -2\pi i \operatorname{res}_{c=c_s} F_{yy'}(i\gamma_{10}, \delta_1, i\gamma_0, i\delta_0), \quad (6c)$$

при $c < c_{1t}$ ($n = 5, m = s$)

$$\Delta_{yy'}^{(5,s)}(z, z') = -2\pi i \operatorname{res}_{c=c_s} F_{yy'}(i\gamma_{10}, i\delta_{10}, i\gamma_0, i\delta_0). \quad (6d)$$

В (6c) и (6d) скорости поверхностных акустических волн c_s при фиксированном \mathbf{q} определяются из дисперсионных уравнений $Q(i\gamma_{10}, \delta_1, i\gamma_0, i\delta_0) = 0$ и $Q(i\gamma_{10}, i\delta_{10}, i\gamma_0, i\delta_0) = 0$ соответственно. Остальные обозначения в (6a)–(6d) даны в *Приложении*.



Учитывая то, что $F_{yy'}(i\gamma_{10}, \delta_1, i\gamma_0, i\delta_0) = F_{yy'}(i\gamma_{10}, -\delta_1, i\gamma_0, i\delta_0)$ и используя (6a)–(6d), $W_{kk'}$ можно представить в виде

$$W_{kk'} = \frac{\gamma^2}{16\pi^2\rho} \int q^2 d\mathbf{q} \int_{\Gamma} \frac{dc}{c^2} M_{cq}^{kk'} \{ J_1(q, c) + J(q, c) \}, \quad (7)$$

где

$$J_1(q, c) = \frac{1}{\gamma} [D + \gamma^2 (1 + D)]^2 |Z(q\gamma)|^2 + \delta |Z(q\delta)|^2 \quad (8)$$

обусловлен взаимодействием ДНЗ с объемными фононами, а

$$\begin{aligned} J_2(q, c) = & \frac{1}{\gamma} [D + \gamma^2 (1 + D)]^2 Z^2(q\gamma) a_{21}^{(P)} - \delta Z^2(q\delta) a_{23}^{(SV)} + \\ & + 2\delta [D + \gamma^2 (1 + D)] Z(q\gamma) Z(q\delta) a_{23}^{(P)} \end{aligned} \quad (9)$$

обусловлен НУС, $a_{21}^{(P)}$ ($a_{23}^{(SV)}$) — амплитуда отраженной от границы раздела продольной (поперечной) волны при падении на нее со стороны полупроводника продольной (поперечной) волны единичной амплитуды, $a_{23}^{(P)}$ — амплитуда отраженной продольной волны при падении на границу раздела поперечной волны

единичной амплитуды, $Z(p) = \int_0^{\infty} dz |\chi_0(z)|^2 \exp(ipz)$, контур Γ показан на ри-

сунке, где отмечена только одна из особых точек c_s выражения в фигурных скобках в (7) при фиксированном \mathbf{q} .

Расчет релаксационных характеристик

Для вычисления $\langle \tau_p^{-1} \rangle$ и $\langle Q \rangle$ пробного ДНЗ воспользуемся следующими выражениями [1, 15]:

$$\langle \tau_p^{-1} \rangle = \frac{q}{N_s k_B T} \int_0^{\infty} d\epsilon \frac{\epsilon}{\tau_p} f_T(\epsilon) [1 - f_T(\epsilon)], \quad \frac{\hbar \mathbf{k}}{\tau_p} = \sum_{\mathbf{k}'} \hbar (\mathbf{k}' - \mathbf{k}) W_{\mathbf{k}\mathbf{k}'} \frac{1 - f_T(\mathbf{k}')}{1 - f_T(\mathbf{k})}, \quad (10)$$

$$\langle Q \rangle = \frac{1}{N_s} \sum_{\mathbf{k}\mathbf{k}'} f_{T_c}(\mathbf{k}) [1 - f_{T_c}(\mathbf{k}')] (\varepsilon_{\mathbf{k}} - \varepsilon_{\mathbf{k}'}) W_{\mathbf{k}\mathbf{k}'}, \quad (11)$$

где g — двумерная плотность состояний, N_s — концентрация ДНЗ, f_T — функция Ферми—Дирака с решеточной температурой T , f_{T_c} — то же с электронной температурой T_c . Подстановка (7) в (10) и (11), суммирование по \mathbf{k}' , усреднение по изоэнергетической поверхности и по распределению ДНЗ приводят к следующим расчетным формулам:

$$\langle \tau_p^{-1} \rangle = \frac{\pi^2 g}{16\pi^2 \rho N_s k_B T} \int_0^\infty d\varepsilon f_T(\varepsilon) \int_{\Gamma} \frac{dc}{c^2} \times$$

$$\times \left\{ \int \frac{q^3 (\varepsilon_q + \hbar cq) (N_{cq} + 1)}{\sqrt{4\varepsilon \varepsilon_q - (\varepsilon_q + \hbar cq)^2}} [1 - f_T(\varepsilon - \hbar cq)] J(q, c) dq - (\text{то же с заменой } c \rightarrow -c) \right\}, \quad (12)$$

$$\langle Q \rangle = \frac{\pi^2 m}{8\pi^3 N_s \rho \hbar} \int_0^\infty d\varepsilon f_{T_c}(\varepsilon) \int_{\Gamma} \frac{dc}{c} \times$$

$$\times \left\{ \int \frac{q^4 N_{cq} [1 - f_{T_c}(\varepsilon + \hbar cq)]}{\sqrt{4\varepsilon \varepsilon_q - (\varepsilon_q + \hbar cq)^2}} [\exp(\beta - \beta_c) \hbar cq - 1] J(q, c) dq + (\text{то же с заменой } c \rightarrow -c) \right\}, \quad (13)$$

где $J(q, c) = J_1(q, c) + J_2(q, c)$, $\beta = (k_B T)^{-1}$, $\beta_c = (k_B T_c)^{-1}$, m — масса ДНЗ в плоскости инверсионного слоя, области интегрирования по q в (12) и (13) определены требованием положительности подкоренных выражений.

Основные закономерности кинематики рассеяния ДНЗ при взаимодействии с объемными акустическими фононами изучены в [1], где исходя из характера электрон-фононного взаимодействия выделены три температурные области. Рассмотрим релаксационные характеристики ДНЗ в системе слой—полупространство в этих областях.

1. Область малоуглового рассеяния: $k_B T \ll (8ms^2\varepsilon_F)^{1/2}$. В данной области значения волнового вектора и энергии фона определяются температурой решетки [1] ($q \sim q_T = k_B T / \hbar s$, $\hbar \omega \sim k_B T$), и поэтому для взаимодействующего фона $c \sim s$ — характерной скорости звука в Si (c_l или c_t). Это означает, что ДНЗ в основном взаимодействует с фононами, распространяющимися вдоль поверхности Si, а взаимодействие носит малоугловой характер. Газ ДНЗ вырожден, $\varepsilon \sim \varepsilon_F$, а $\varepsilon_q = \hbar^2 q^2 / 2m \sim k_B^2 T^2 / 2ms^2 \ll \varepsilon_F$. Эти оценки позволяют в подкоренных выражениях (12) и (13) пренебречь вторыми слагаемыми, а интегрирование по q провести от 0 до ∞ .

В результате получим

$$\langle \tau_p^{-1} \rangle = \frac{\pi^2 m^{1/2} g}{16\sqrt{2} \pi^2 \hbar \rho N_s k_B T} \int_0^\infty \frac{d\varepsilon}{\sqrt{\varepsilon}} f_T(\varepsilon) \int_{\Gamma} \frac{dc}{c^2} \int_0^\infty dq q^2 J(q, c) \times$$

$$\times \{(N_{cq} + 1) (\varepsilon_q + \hbar cq) [1 - f_T(\varepsilon - \hbar cq)] + N_{cq} (\varepsilon_q - \hbar cq) [1 - f_T(\varepsilon + \hbar cq)]\}, \quad (14)$$

$$\langle Q \rangle = \frac{\pi^2 m^{3/2}}{8\sqrt{2} \pi^3 N_s \rho \hbar^2} \int_0^\infty \frac{d\varepsilon}{\sqrt{\varepsilon}} f_{T_c}(\varepsilon) \int_{\Gamma} \frac{dc}{c} \int_0^\infty dq q^3 J(q, c) \{N_{cq} [\exp(\beta - \beta_c) \hbar cq - 1] \times$$

$$\times [1 - f_{T_c}(\varepsilon + \hbar cq)] - (N_{cq} + 1) [\exp(\beta_c - \beta) \hbar cq - 1] [1 - f_{T_c}(\varepsilon - \hbar cq)]\}. \quad (15)$$

Выполнив интегрирование по ε и вводя новую переменную $y = \hbar cq / 2k_B T$, получим следующие выражения для $\langle \tau_p^{-1} \rangle$ и $\langle Q \rangle$:

$$\langle \tau_p^{-1} \rangle = \frac{\pi^2 (k_B T)^5}{\pi^2 \hbar^4 (2m)^{1/2} \rho s_F^{3/2}} \int_{\Gamma} \frac{dc}{c^2} \int_0^\infty \frac{y^5}{\sinh^2 y} J(y, c) dy, \quad (16)$$

$$\langle Q \rangle = \frac{\kappa^2 (2m)^{1/2} (k_B T)^5}{\pi^2 \hbar^4 \rho \varepsilon_F^{3/2}} \int_0^\infty \frac{dc}{c^5} \int_0^\infty \frac{y^4 \operatorname{sh}\left(\frac{T_c}{T} - 1\right) y}{\operatorname{sh} y \operatorname{sh} \frac{T_c}{T} y} J(y, c) dy. \quad (17)$$

Дальнейший расчет кинематических характеристик связан с использованием различных приближений. Так, ввиду того что в рассматриваемом случае длина волны фонара значительно больше ширины инверсионного канала, можно перейти к двумерному пределу, полагая $|\chi_0(z)|^2 \sim \delta(z)$. В частном, но весьма важном случае отсутствия ДС получаемые из (16) и (17) выражения описывают влияние свободной поверхности полупроводника на электрон-фононное взаимодействие в инверсионном слое. При этом $J(y, c)$ уже не зависит от y , что позволяет провести интегрирование по этой переменной. Окончательные результаты после вычисления контурных интегралов можно представить в виде

$$\langle \tau_p^{-1} \rangle = \tau_B^{-1} \frac{[2(1+D) - \eta^2]^2 [4 + (\eta^2 - 1)(3\eta^6 + \eta^4 + 3\eta^2 + 5)]}{(\eta^2 - 1)^3 [8D^2 + 4D + 1 + \eta^6]}, \quad (18)$$

$$\langle Q \rangle = \langle Q \rangle_B \frac{2(\eta^4 + 1)[2(1+D) - \eta^2]^2}{(\eta^2 - 1)^2 [8D^2 + 8D + 3 + \eta^4]}, \quad (19)$$

где $\eta = c_l/c_t$, а через τ_B и $\langle Q \rangle_B$ обозначены релаксационные характеристики, вычисленные в предположении неупругости взаимодействия ДНЗ с объемными фононами (выражения для τ_B и $\langle Q \rangle_B$ см. в [1]). В [6] приведены результаты численных расчетов, согласно которым при $D = -0.67$, $c_l = 9.04 \cdot 10^5$ см/с, $c_t = 5.42 \times 10^5$ см/с $\langle Q \rangle / \langle Q \rangle_B \approx 2.762$. При тех же значениях D , c_l и c_t из (19) получаем $\langle Q \rangle / \langle Q \rangle_B \approx 2.763$, что практически не отличается от результата [6]. Из выражения (18) следует, что $\langle \tau_p^{-1} \rangle \approx 5.32 \tau_B^{-1}$, это снимает различия между теорией и экспериментом [11].

Заметим, что вывод об усилении темпа релаксации энергии не противоречит результатам [9], где заключение о несущественном подавлении $\langle Q \rangle$ сделано с учетом только вклада отражения объемных фононов от свободной поверхности, без учета вклада поверхностных фононов, взаимодействие с которыми в данной области является доминирующим [6]. Этим объясняется также существенное усиление импульсной релаксации.

2. Область частичной неупругости: $(8m^2 \varepsilon_F^{1/2}) \ll k_B T \ll (8m^2 W_0)^{1/2}$ (W_0 — энергия основного состояния ДНЗ в одномерной яме). В этой области основную роль играет взаимодействие с продольными фононами, энергия которых все еще определяется температурой решетки, а $q \sim 2\bar{k}$, где \bar{k} порядка либо k_F для вырожденного, либо $k_T \sim (2mk_B T/\hbar^2)^{1/2}$ для невырожденного газа ДНЗ [1], поэтому $c \approx k_B T/2\hbar\bar{k} \gg s$ и большая часть участвующих во взаимодействии фононов распространяется поперек инверсионного слоя, рассеяние на которых носит неупругий характер.

Расчет $\langle \tau_p^{-1} \rangle$ и $\langle Q \rangle$ в данной области проводится с помощью формул

$$\langle \tau_p^{-1} \rangle = \frac{g}{2\tau_2 N_s k_B T} \int_0^\infty \varepsilon f_T(\varepsilon) I_1(\varepsilon) d\varepsilon, \quad \langle Q \rangle = \frac{gk_B T}{\tau_2 N_s} \int_0^\infty d\varepsilon f_T(\varepsilon) I_2(\varepsilon), \quad (20)$$

где

$$I_1(\varepsilon) = B^6 \int_{\tilde{\tau}_0}^\infty y dy [(B^2 + y^2)^{-3} - P_0^l(iB + y)^{-6}] \times \\ \times \{N_y [1 - f(x+y)] + (N_y + 1) [1 - f(x-y)]\}, \quad (21)$$

$$I_2(\varepsilon) = B^6 \int_{\tilde{\tau}_0}^\infty y^2 dy [(B^2 + y^2)^{-3} - P_0^l(iB + y)^{-6}] \left\{ N_y \left[1 - f\left(\frac{T}{T_c}(x+y)\right) \right] \times \right. \\ \times \left[\exp\left(1 - \frac{T}{T_c}\right)y - 1 \right] - (N_y + 1) \left[1 - f\left(\frac{T}{T_c}(x-y)\right) \right] \left[\exp\left(\frac{T}{T_c} - 1\right)y - 1 \right] \right\}, \quad (22)$$

$$\frac{1}{\tau_2} = \frac{\kappa^2 m (k_B T)^2 (1+D)^2}{2\pi \hbar^4 \rho c_l^3}, \quad P_0^l = \frac{\rho_1 c_{1l} - \rho c_l}{\rho_1 c_{1l} + \rho c_l}, \quad x = \frac{\varepsilon - \varepsilon_F}{k_B T}, \quad B = \frac{\hbar c_l b}{k_B T}.$$

Здесь b — параметр, входящий в вариационную волновую функцию Фэнга и Ховарда [10], ρ_1 — плотность SiO_2 , $\tilde{\gamma}_0$ — отображение контура Γ , соответствующее замене переменной c в формулах (12) и (13) на $y=y_0(c^2/c_t^2 - 1)^{1/2}$, так что при $c=\sqrt{2}c_t$, $y=y_0=\hbar c_t q/k_B T$. Заметим, что при выводе (20)–(22) использовано приближение «толстого ДС» $L \gg \hbar/(c_{1t}^{-1} + c_{1t}^{-1}) k_B T$, что фактически всегда имеет место. После выполнения контурного интегрирования в (21) и (22), а также интегрирования по ε в (20) с учетом условия $B \gg 1$ для $\langle \tau_p^{-1} \rangle$ и $\langle Q \rangle$ получим выражения

$$\langle \tau_p^{-1} \rangle = \tau_b^{-1} (1 + P_0^t), \quad \langle Q \rangle = \langle Q \rangle_b (1 + P_0^t), \quad (23)$$

отличающиеся от соответствующих выражений, выведенных без учета НУС в [1] для обеих статистик, только лишь множителем $1 + P_0^t$. Вклад НУС обусловлен отражением нормально падающих продольных волн от свободной поверхности и границы раздела, с которыми в данной области температур взаимодействуют ДНЗ. При $c_t = 9.04 \cdot 10^5 \text{ см}/\text{с}$, $c_{1t} = 5.97 \cdot 10^5 \text{ см}/\text{с}$, $\rho \approx 2.33 \text{ г}/\text{см}^3$, $\rho_1 \approx \approx 2.2 \text{ г}/\text{см}^3$ получаем, что учет НУС приводит к уменьшению $\langle \tau_p^{-1} \rangle$ и $\langle Q \rangle$ по сравнению с τ_b^{-1} и $\langle Q \rangle_b$ примерно на 25 %, что, по-видимому, обусловлено уменьшением амплитуд взаимодействующих с ДНЗ волн в области SiO_2 [16]. Заметим, что из-за числовых неравенств $(D+1)^2 < 1$ и $c_t < c_l$ в Si необходимо учитывать также взаимодействие ДНЗ с поперечными фононами [1]; при этом влияние НУС на $\langle \tau_p^{-1} \rangle$ и $\langle Q \rangle$ описывается формулами (23) с заменой P_0^t на $P_0^t = (\rho c_t - \rho_1 c_{1t}) / (\rho c_t + \rho_1 c_{1t})$. Для $\text{Si}-\text{SiO}_2$ при $c_t = 5.42 \cdot 10^5 \text{ см}/\text{с}$, $c_{1t} = 4.76 \cdot 10^5 \text{ см}/\text{с}$ $P_0^t \approx \approx 0.09$. Замена SiO_2 более мягким материалом приводит к уменьшению темпа релаксации на продольных фонах, тогда как для поперечных фононов он увеличивается. Если же значения упругих параметров ДС и полупроводника равны, то обусловленный НУС вклад в приближении толстого ДС отсутствует.

При отсутствии ДС вычисления $\langle \tau_p^{-1} \rangle$ и $\langle Q \rangle$ в случае статистики Ферми приводят к следующим результатам:

$$\langle \tau_p^{-1} \rangle = \frac{4\pi^2 (2m)^{3/2} k_B T \varepsilon_F^{1/2}}{3\pi c_t^2 \hbar^4} \frac{1}{\eta^4} [2(1+D) - \eta^2]^2, \quad (24)$$

$$\langle Q \rangle = \frac{2\pi^2 m^2 k_B^2 (T_c^2 - T^2)}{3\rho \hbar^2 c_l} \frac{1}{\eta^3} [2(1+D) - \eta^2]^2. \quad (25)$$

Таким образом, наличие свободной поверхности полупроводника приводит к изменению температурной и концентрационной зависимостей релаксационных характеристик. Следует отметить, что в рамках изотропной модели, т. е. при $D \rightarrow \infty$, (25) переходит в полученную в [9] формулу (41) (при $\tilde{s}=0$).

3. Область высоких температур: $k_B T \gg (8m^2 W_0)^{1/2}$. В этой области энергия взаимодействующего фона определяется областью локализации ДНЗ, т. е. шириной инверсионного канала $d \hbar \omega \sim 2\pi \hbar s d^{-1}$, а q — характерным значением двумерного волнового вектора ДНЗ [1]; в квантовом пределе $q \leq 2\pi/d$, поэтому энергия взаимодействующего фона меньше средней тепловой энергии $k_B T$. Это позволяет электрон-фононное взаимодействие считать квазиупругим и в формулах (12), (13) пренебречь энергией фона в аргументах f и в подкоренных выражениях.

Учитывая также то, что при высоких температурах $N_{eq} \simeq k_B T / \hbar c q \gg 1$, после контурного интегрирования для τ_p^{-1} получим

$$\begin{aligned} \frac{1}{\tau_p(\varepsilon)} = & \frac{1}{\tau_0} \int_0^1 \frac{y^{1/2} dy}{(1-y)^{1/2}} \left\{ 1 + \frac{x}{(D+1)^2} \left[-\frac{1+2D}{1+x} - \frac{1+2D}{(1+x)^2} + \frac{\eta^2 - 3 - 4D}{3(1+x)^3} + \right. \right. \\ & \left. \left. + \frac{\eta^2 - 1}{(1+x)^4} + \frac{4M_0}{3(1+x)^5} + \frac{4M_1}{3(1+x)^7} + \frac{4M_2}{3(1+x)^9} \right] \right\}_{x=(8m\varepsilon y/\hbar^2 b^2)^{1/2}}, \end{aligned} \quad (26)$$

где

$$\frac{1}{\tau_0} = \frac{9\pi^2 m^{3/2} W_0^{1/2} k_B T}{8\sqrt{2} \pi \hbar^4 \rho c_t^2}.$$

Последних три слагаемых в (26) обусловлены НУС. Коэффициенты M_0 , M_1 и M_2 равны

$$M_0 \equiv m_0 = (\eta^2 - 1)^{-1} [8D^2 + 4D(3 - \eta^2) + 5 - 4\eta^2 + \eta^4],$$

$$M_1 \equiv m_1 = -6(4D + 3 - \eta^2), \quad M_2 = 18(\eta^2 - 1)$$

в отсутствие ДС и

$$M_0 = m_0 S (\eta^2 - 1) [1 - \eta_1^2 - 2\nu + \nu^2 + \nu^2 (1 + \eta_1^2)] + 2S\eta^2 [1 - \eta_1^2 - \nu (1 - \eta^2)],$$

$$M_1 = \frac{1}{6} m_1 S (\eta^2 - 1) [1 - \eta_1^2 - 2\nu + \nu^2 (1 + \eta_1^2)], \quad M_2 = 18S (\eta^2 - 1)^2 [1 - \eta_1^2 - 2\nu + \nu^2 (1 + \eta_1^2)],$$

$$S^{-1} = (\eta_1^2 - 1) (\eta^2 + 1) + 2\nu + \nu^2 (\eta^2 - 1) (\eta_1^2 + 1) + 2\nu\eta_1^2\eta^2,$$

$$\eta_1 = \frac{c_{1t}}{c_{1f}}, \quad \nu = \frac{\rho c_t^2}{\rho_1 c_{1t}^2}$$

при наличии ДС с толщиной $L \gg d/4\pi$.

По оценкам, для Si (100) в отсутствие ДС при $\epsilon \sim h^2/2md^2$ учет НУС приводит к увеличению τ_p^{-1} примерно на 13 %, что согласуется с результатами [13]. При наличии же ДС увеличение τ_p^{-1} составляет примерно 5.5 %.

Мощность энергетических потерь, согласно формулам (4) и (11), можно представить в виде

$$\langle Q \rangle = -\frac{\kappa^2}{4\pi N_s} \int_0^\infty dz |\chi_0(z)|^2 \int_0^\infty dz' |\chi_0(z')|^2 \hat{\delta}_{yy'} \left\{ \int d\mathbf{q} \sum_{(j)} \frac{P_{\mathbf{q},j}}{\omega_{\mathbf{q},j}} \Lambda_{yy'}^{(q,j)}(z, z') \right\}, \quad (27)$$

где

$$P_{\mathbf{q},j} = \hbar\omega_{\mathbf{q},j} \left\{ 1 - \exp \left[\hbar\omega_{\mathbf{q},j} \left(1 - \frac{T}{T_c} \right) / k_B T \right] \right\} \left[\exp \left(\frac{\hbar\omega_{\mathbf{q},j}}{k_B T} \right) - 1 \right]^{-1} \times \\ \times \sum_k f_{T_c}(\varepsilon_k) [1 - f_{T_c}(\varepsilon_k + \hbar\omega_{\mathbf{q},j})] \delta(\varepsilon_{k+\mathbf{q}} - \varepsilon_k - \hbar\omega_{\mathbf{q},j}). \quad (28)$$

В рассматриваемом приближении $P_{\mathbf{q},j} \sim \hbar\omega_{\mathbf{q},j}$, поэтому входящий в (27) член в фигурных скобках пропорционален $\int d\mathbf{q} \sum_{(j)} \Lambda_{yy'}^{(q,j)}(z, z') = \delta_{yy'} \delta(z - z')$ из-за полноты собственных функций фононных мод независимо от наличия НУС. Следовательно, вклад НУС в $\langle Q \rangle$ появляется только во втором порядке $\hbar\omega/k_B T \simeq \simeq (8ms^2W_0)^{1/2}/k_B T$. Окончательно в рассматриваемом приближении для $\langle Q \rangle$ получим

$$\langle Q \rangle = \frac{3mc_t^2}{\pi^2 \tau_{11}} \left\{ 1 + \frac{2\pi^2}{3} \left(\frac{D}{1+D} \right)^2 \frac{\varepsilon}{W_0} \right\} \frac{W_0}{\varepsilon} \left(1 - \frac{T}{T_c} \right) \left(\frac{T_c}{T} \right)^r, \quad (29)$$

где $r=1$, $\varepsilon=\varepsilon_F$ для статистики Ферми, $r=0$, $\varepsilon=k_B T$ для статистики Больцмана.

Следует также заметить, что в [1] при вычислении τ_p^{-1} и $\langle Q \rangle$ учтены только первые слагаемые в фигурных скобках (26) и (29). Расчет, однако, показывает, что для τ_p^{-1} это оправдано, если $\varepsilon/W_0 \leq 10^{-3}$. При характерных значениях $\varepsilon/W_0 \geq 10^{-2}$ последующие члены в (26) и (29), обусловленные взаимодействием ДНЗ с объемными фононами, преобладают и пренебречь ими нельзя.

Авторы благодарны В. Карпсусу, И. Б. Левинсону и С. М. Бадаляну за обсуждение полученных результатов.

Приложение

Входящую в (6а)–(6д) функцию $F_{yy'}$ можно представить в виде

$$F_{yy'}(\gamma_1, \delta_1, \gamma, \delta) = \frac{q}{2\pi c} \sum_{v=1}^6 R_v^{yy'} \exp [iq(a_v z + a'_v z')], \quad (\text{II. 1})$$

| | $v=1$ | $v=2$ | $v=3$ | $v=4$ | $v=5$ | $v=6$ |
|------------|---------------|---------------|---------------------------|----------------------------|----------------------------------|----------------------------------|
| R_v^{xx} | γ^{-1} | δ | $\gamma^{-1}a_{21}^{(P)}$ | $-\delta a_{23}^{(SV)}$ | $\gamma^{-1}\delta a_{23}^{(P)}$ | $\gamma^{-1}\delta a_{23}^{(P)}$ |
| R_v^{zz} | γ | δ^{-1} | $-\gamma a_{21}^{(P)}$ | $\delta^{-1}a_{23}^{(SV)}$ | $a_{23}^{(P)}$ | $a_{23}^{(P)}$ |
| R_v^{xz} | 1 | -1 | $a_{21}^{(P)}$ | $a_{23}^{(SV)}$ | $-\gamma^{-1}a_{23}^{(P)}$ | $\gamma^2\delta a_{23}^{(P)}$ |
| R_v^{zx} | -1 | 1 | $-a_{21}^{(P)}$ | $-a_{23}^{(SV)}$ | $-\gamma^2\delta a_{23}^{(P)}$ | $\gamma^{-1}a_{23}^{(P)}$ |
| a_v | γ | δ | γ | δ | γ | δ |
| a'_v | $-\gamma$ | $-\delta$ | γ | δ | δ | γ |

$R_v^{yy'}$, a_v и a'_v даны в таблице, где введены следующие обозначения:

$$a_{23}^{(\lambda)} = Q^{-1} [L_i^\lambda (\gamma_1, \delta_1) + L_i^\lambda (-\gamma_1, -\delta_1) - L_i^\lambda (-\gamma_1, \delta_1) - L_i^\lambda (\gamma_1, -\delta_1)], \quad \lambda = P, SV; \quad i = 1, 3,$$

$$Q(\gamma_1, \delta_1, \gamma, \delta) = \Phi(\gamma_1, \delta_1) + \Phi(-\gamma_1, -\delta_1) - \Phi(-\gamma_1, \delta_1) - \Phi(\gamma_1, -\delta_1),$$

$$L_1^{(P)}(\gamma_1, \delta_1) = 4\gamma_1\delta_1\varphi_1 [2\mu_1^2\eta^{(-)}\varphi_1 + \mu^2\varphi^{(-)} + \mu\mu_1(\varphi_1 - 2)\theta^{(+)}] + z_1^{(+)} \exp[iqL(\gamma_1 + \delta_1)] \times \\ \times [\mu^2\eta_1^{(+)}\varphi_1^{(-)} - \mu_1^2\eta^{(-)}\varphi_1^{(+)} + \mu\mu_1[2\theta_1^{(-)}\theta^{(+)} + \sigma(\varphi_1 + 2)(\varphi + 2)]], \quad (\text{П. 2})$$

$$L_1^{(SV)}(\gamma_1, \delta_1) = 2\delta \{-2\gamma_1\delta_1\varphi_1 [4\mu_1^2\varphi_1 + 4\mu^2\varphi + \mu\mu_1(\varphi_1 - 2)(\varphi - 2)] + \\ + z_1^{(+)} \exp[iqL(\gamma_1 + \delta_1)] [\mu_1^2\varphi_1^{(+)} - 2\mu^2\varphi\eta_1^{(+)} - \mu\mu_1\theta_1^{(-)}(\varphi - 2)]\}, \quad (\text{П. 3})$$

$$L_3^{(P)}(\gamma_1, \delta_1) = -\frac{\gamma}{\delta} L_1^{(SV)}(\gamma_1, \delta_1), \quad L_3^{(SV)}(\gamma_1, \delta_1) = L_1^{(P)}(\gamma_1, \delta_1) \Big|_{\substack{\gamma \rightarrow -\gamma \\ \delta \rightarrow -\delta}},$$

$$\Phi(\gamma_1, \delta_1) = -L_1^{(P)}(\gamma_1, \delta_1) \Big|_{\delta \rightarrow -\delta},$$

$$\begin{aligned} \eta^{(\pm)} &= 4\gamma\delta \pm (\delta^2 - 1)^2, \quad \theta^{(\pm)} = \delta^2 - 1 \pm 2\gamma\delta, \quad \mu = \rho c_t^2, \\ \eta^{(\pm)} &= 1 \pm \gamma\delta, \quad \varphi = \delta^2 - 1, \quad \sigma = \gamma_1\delta - \gamma\delta_1, \\ \gamma &= \left(\frac{c^2}{c_t^2} - 1\right)^{1/2}, \quad \delta = \left(\frac{c^2}{c_t^2} - 1\right)^{1/2}, \quad \gamma_0 = -i\gamma, \quad \delta_0 = -i\delta. \end{aligned} \quad \left. \right\} \quad (\text{П. 4})$$

Входящие в (П. 2) и (П. 3) величины с индексом 1 получаются из (П. 4) заменой $c_t \rightarrow c_{1t}$, $c_t \rightarrow c_{1t}$, $\rho \rightarrow \rho_1$.

Список литературы

- [1] Карпук В. // ФТП. 1986. Т. 20. В. 1. С. 12—19.
- [2] Гусев Г. М., Квон З. Д., Овсяк В. Н. // ЖЭТФ. 1987. Т. 93. В. 1. С. 206—214.
- [3] Долгополов В. Т., Шашкин А. А., Дорожкин С. И., Выродов Е. А. // ЖЭТФ. 1985. Т. 89. В. 6. С. 2113—2123.
- [4] Shinba Y., Nakamura K. // J. Phys. Soc. Japan. 1981. V. 50. N 1. P. 114—120.
- [5] Shinba Y., Nakamura K., Fukuchi M., Sakata M. // J. Phys. Soc. Japan. 1982. V. 51. N 1. P. 157—163.
- [6] Shinba Y., Nakamura K., Fukuchi M., Sakata M. // J. Phys. Soc. Japan. 1982. V. 51. N 12. P. 3908—3914.
- [7] Krown C. M. // J. Appl. Phys. 1983. V. 54. N 5. P. 2441—2454.
- [8] Вартанян А. Л., Каракосян А. А. // Тез. докл. XIII Всес. совещ. по теории полупроводников. Ереван, 1987. С. 70
- [9] Бадалян С. М., Левинсон И. Б. // ФТТ. 1988. Т. 30. В. 9. С. 2764—2772.
- [10] Андо Т., Фаулер А., Стерн Ф. Электронные свойства двумерных систем. М., 1985. 415 с.
- [11] Kawaguchi Y., Kawaji S. // Surf. Sci. 1980. V. 98. P. 211—217.
- [12] Ancona M. G. // Surf. Sci. 1985. V. 161. P. 147—155.
- [13] Ezawa H., Kawaji S., Nakamura K. // Japan. J. Appl. Phys. 1974. V. 13. N 1. P. 126—155.
- [14] Каракосян А. А., Вартанян А. Л. // Межвуз. сб. науч. тр. Ереван, 1987. № 8-9. С. 234—240.
- [15] Гантмахер В. Ф., Левинсон И. Б. Рассеяние носителей тока в металлах и полупроводниках. М., 1984. 350 с.
- [16] Бреховских Л. М. Волны в слоистых средах. М., 1973. 343 с.